

## 2SB77

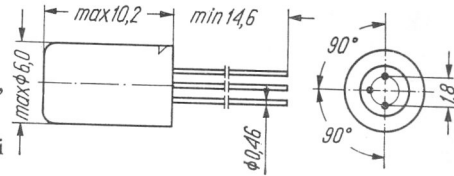
Typ tranzystora: tranzystor germanowy

Firma: HITACHI

Wykonanie: tranzystor germanowy stopowy p-n-p, w obudowie metalowej TO-1

Zastosowanie: stopnie wyjściowe o częstotliwości akustycznej

Typy podobne: AC151-VI (Sie)



Rys. 1-1228. 2SB77

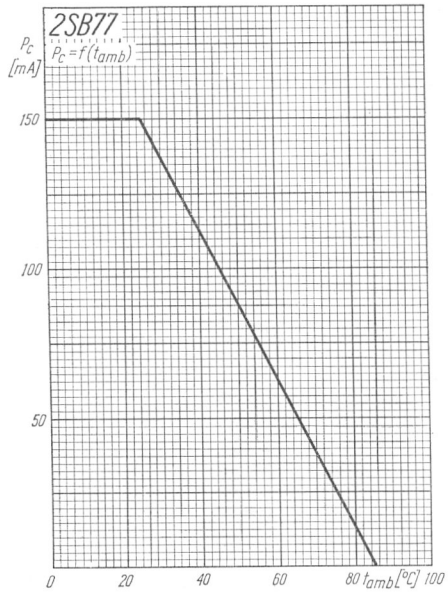
### Wartości charakterystyczne<sup>1)</sup>

	typ	max		
$I_{CBX}$ (2SB77)		-14	$\mu\text{A}$	przy $U_{CB} = -25 \text{ V}$ , $U_{EB} = -6 \text{ V}$
$I_{CBX}$ (2SB77A)		-25	$\mu\text{A}$	przy $U_{CB} = -45 \text{ V}$ , $U_{EB} = -6 \text{ V}$
$I_{EBO}$		-12	$\mu\text{A}$	przy $U_{EB} = -12 \text{ V}$ , $I_C = 0$
$U_{BE}$	-125		mV	przy $U_{CE} = -6 \text{ V}$ , $I_C = 1 \text{ mA}$
$h_{21E}$ (A)	65			przy $U_{CE} = -1,0 \text{ V}$ , $I_C = -50 \text{ mA}$
(B)	85			
(C)	110			
$h_{11e}$	1,9		$\text{k}\Omega$	przy $U_{CE} = -6 \text{ V}$ , $I_C = -1 \text{ mA}$ , $f = 270 \text{ Hz}$
$h_{12e}$	3,8		$10^{-4}$	
$h_{21e}$	70			
$h_{22e}$	26		$\mu\text{S}$	
$f_{h21b}$	2		MHZ	

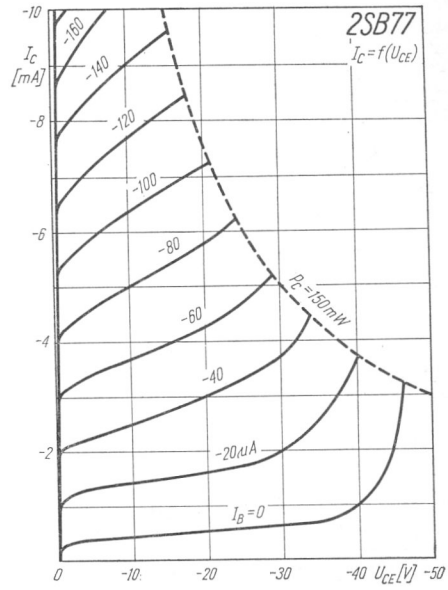
### Wartości graniczne

$U_{CBO \text{ max}}$ (2SB77)	-25	V	$I_{CM \text{ max}}$	-300	mA
$U_{CBO \text{ max}}$ (2SB77A)	-45	V	$I_E \text{ max}$	100	mA
$U_{CES \text{ max}}$ (2SB77)	-25	V	$P_{tot \text{ max}}$	150	mW
$U_{CES \text{ max}}$ (2SB77A)	-45	V	$t_j \text{ max}$	85	$^{\circ}\text{C}$
$U_{EBO \text{ max}}$	-12	V	$t_{stg}$	-55 ÷ +85	$^{\circ}\text{C}$
$I_C \text{ max}$	-100	mA			

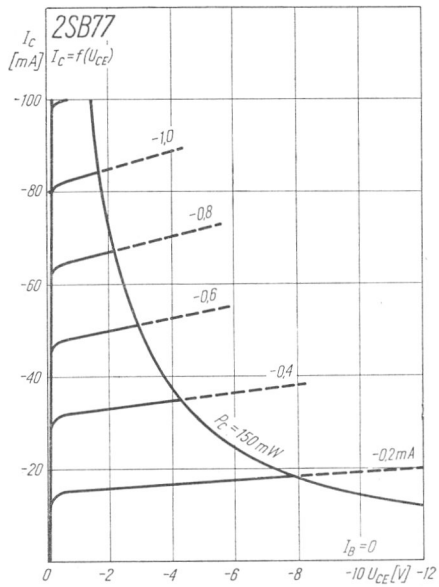
<sup>1)</sup>  $t_{amb} = 25^{\circ}\text{C}$



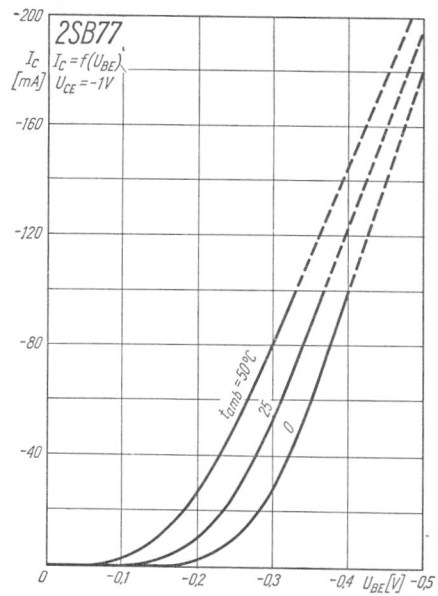
Rys. 1-1229. Zależność dopuszczalnej mocy strat od temperatury otoczenia



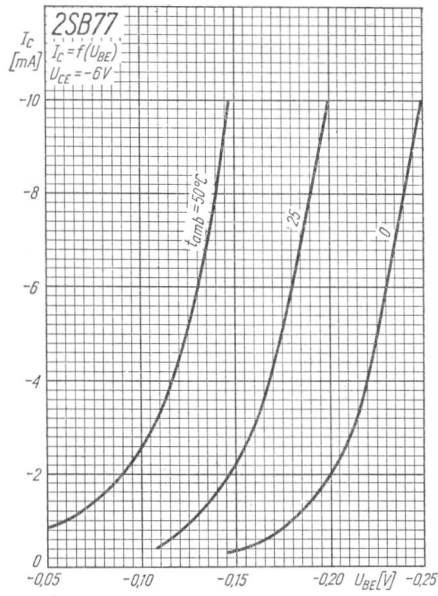
Rys. 1-1230. Charakterystyki wyjściowe



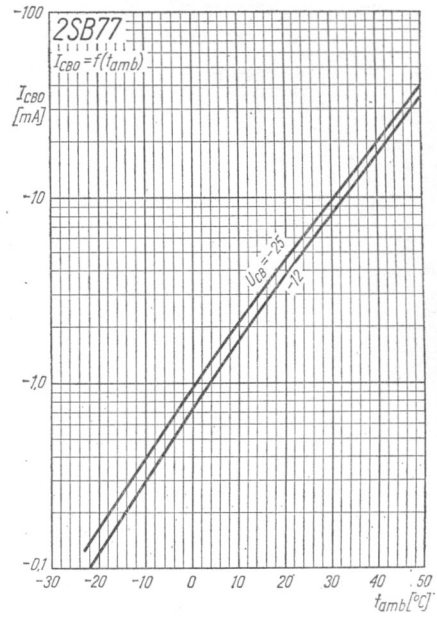
Rys. 1-1231. Charakterystyki wyjściowe



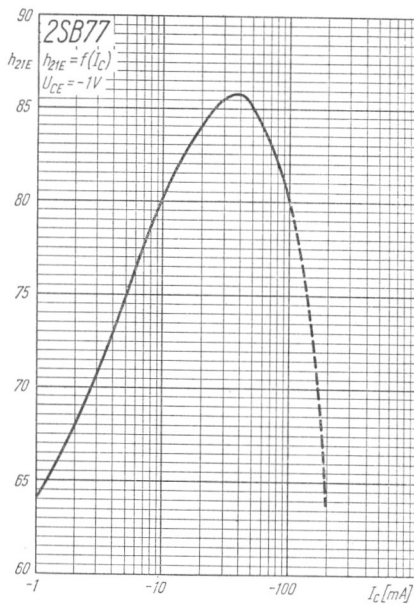
Rys. 1-1232. Charakterystyki sterowania napięciowego



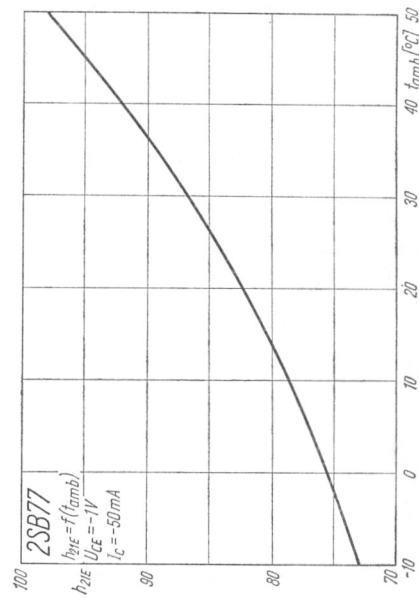
Rys. 1-1233. Charakterystyki sterowania napięciowego



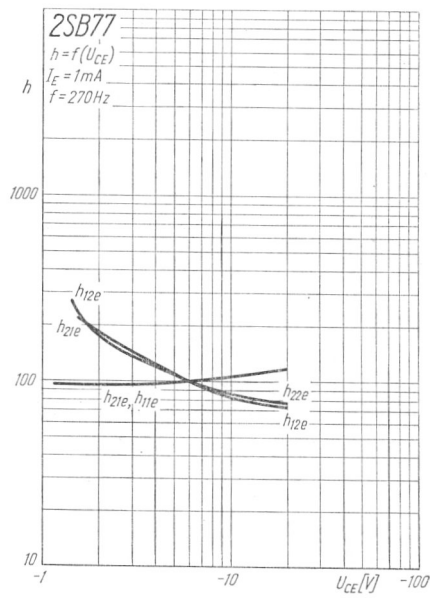
Rys. 1-1234. Zależność prądu zerowego kolektora od temperatury otoczenia



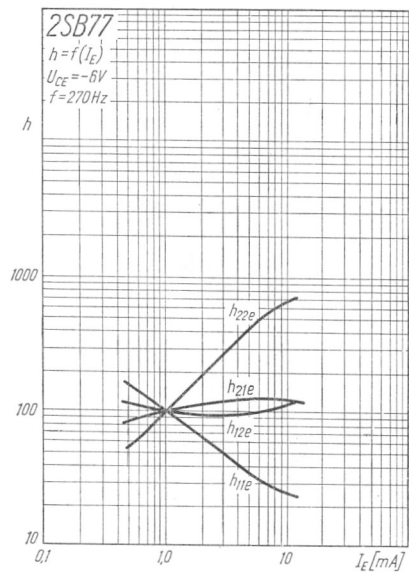
Rys. 1-1235. Zależność współczynnika wzmocnienia prądowego od prądu kolektora



Rys. 1-1236. Zależność współczynnika wzmocnienia prądowego od temperatury otoczenia



Rys. 1-1237. Zależność napięciowa parametrów  $h$



Rys. 1-1238. Zależność parametrów  $h$  od prądu emitera